

東海大学工学部 正員 森田定市
 正員 宇都一馬
 正員 冬木衛
 正員 近藤博

1. 王立が主 いい打ち標準貫入試験など地盤への動的貫入の問題をあつた場合、このような目的にあつたひずみレベル、応力レベルの上の動的特性を正確に知る必要がある。筆者らは、従来金属材料や高分子材料の高速圧縮試験の有効な手段として多く使用されといふホブキンソン棒法を土に適用すべく一連の実験を行なつてきました。この方法によつてかなり正確に応カーヒズミ曲線を決定しうることを示す。²² 動的セン断強度についてはShimming²³による動的高速試験を行なつた報告がなされていふ。²⁴ 筆者らは、土の動的セン断時の応カーヒズミ曲線を決定すべく、ホブキンソン棒法タイプの土の動的セン断試験装置を考案し、初步的な実験をすでに報告した。今回、実験装置を改良し人工の土について実験を行ない、かなり正確に応カーヒズミ曲線を決定することができたので報告する。

2. 実験装置および試料 図-1に実験装置の概要を示す。入出力プレートにはアクリル板(表-1参照)を用い、試料との接触面は60番金剛砂を瞬間接着剤で接着し、試料との緊密をはかった。入出力プレートの中央からそれぞれ25cmの位置に半導体ストレーンゲージ(抵抗1kΩ、ゲージ率173±3%、ゲージ長2mm)を両面に貼り、直列に組む曲げの成分を打ち消した。出力プレートのA₃、A₄ゲージは一つのプリッジに組み込み、(A₃+A₄)の値として測定し解析の手間とはづいた。打撃棒はステンレス棒を細いひじごつり下り、5~20cmの高さから自由落下させて、入力プレートに打撃を与えた。二枚の入出力プレートと平行に保つためには温化ヒニールのパイプ(外径25mm、厚さ3mm)を試料と同じ長さにて使用した。垂直荷重のは一軸圧縮試験機を改良して載荷して、ブルーピングリング測定し、0.5, 1.0, 1.5, 2.0 kg/cm²の4段階とした。試料は標準砂、カオリックレイ、石膏、水と重量比7:4:2:4の割合で混合して型枠に入れ、2日間湿潤養生し、型枠から押し出した人工の土を成型して使用した。試料の直径は35mm、長さは5, 10, 20, 40mmの4段階とした。試料の性質は表-2に示した。

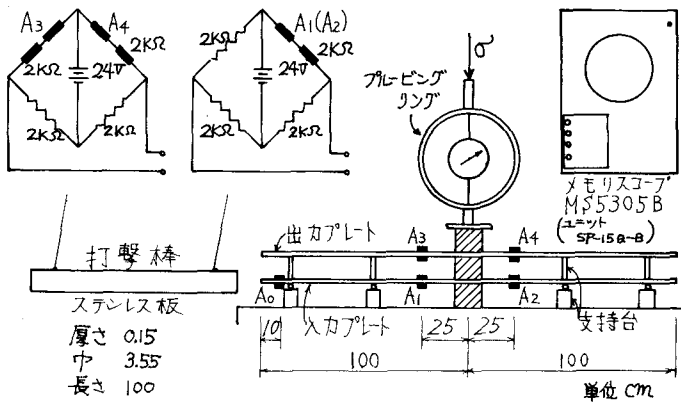


図-1 実験装置の概要

表-1 入出力プレート (アクリル)	表-2 試料の性質 (人工の土)
板厚: 2 mm	G _s : 2.72
幅: 35 mm	γ _c : 1.87 g/cm ³
長さ: 2 m	w: 30.97 %
γ: 1.18 g/cm ³	g _u : 2.27 kg/cm ²
C: 2183 m/sec	C _s : 500 m/sec *
E: 57,400 kg/cm ²	※上下プレートの波形の立ち上り部分の平均ひずみ計算したものである。

3. 解析法と問題点

3.1 測定原理 図-2(a)に示したように、試料を入出力プレートの間にサンドwichし、土らにその上下に波の反射の影響を受けない十分な長さの同一試料をセットする。入力プレートの一端を打撃し、圧縮矩形波 σ_1 を発生させた。発生した弾性波はプレート内を伝ばし、試料の位置に達するとセン断波として試料に入射し、試料内を出力プレートに向かって伝わる。

図-2 測定原理の説明図
境界面I Σ_I の一部 σ_R は反射され、一部 σ_L は透過する。試料内を伝ばしたセン断波は出力プレートに達し、出力プレートには、絶対値の大きい異符号の波 σ_3, σ_4 が境界面II Σ_{II} からそれぞれ反対方向に伝わる。これららの応力の時間的変化は、試料の中心から入出力プレートにそれぞれ d の位置につけたストレーンゲージ A_1, A_2, A_3, A_4 によて観察される。

いま、①入出力プレートは粘性を無視するものとし、これを伝へる波が一次元の波動方程式にしたがう。②試料と入出力プレートは完全に一体となる。③試料の横断面内 Σ のセン断応力の分布は一定である。と仮定する。試料の断面積を A_s 、入出力プレートの断面積を A_p 、弹性係数を E 、単位体積重量を γ 、弾性波の伝ば速度を C とすると、入力プレートと試料との境界面I Σ_I の力の釣合より、 $2A_s T_I = A_p (\sigma_1 + \sigma_R - \sigma_2) \dots (1)$ 、同じようく出力プレートと試料との境界面II Σ_{II} は、 $2A_s T_{II} = A_p (-\sigma_3 + \sigma_4) \dots (2)$ が求められる。試料両端の応力の平均を近似的に試料のセン断応力と考ふると、

$$T = (T_I + T_{II})/2 = (\sigma_1 + \sigma_R - \sigma_2 - \sigma_3 + \sigma_4) A_p / 4 A_s \dots \dots \dots (1)$$

また、入出力プレートと試料との接触面の変位速度をそれぞれ V_I, V_{II} とすと、 $V_I = \sigma_2 g / \gamma C \dots (1)$ 、 $V_{II} = \sigma_4 g / \gamma C \dots (2)$ となる。ここに g は重力加速度である。試料の長さを l 、試料両端の変位速度の差をとると、ヒズミ速度 $\dot{\epsilon}$ とヒズミ ϵ はそれぞれ次式になる。

$$\dot{\epsilon} = (\sigma_2 - \sigma_4) g / \gamma C l \dots \dots \dots (2)$$

$$\epsilon = \int_0^t (\sigma_2 - \sigma_4) dt \cdot g / \gamma C l \dots \dots \dots (3)$$

以上の関係式(1), (2), (3)を出力波形の模式図、図-2(b)に適用すれば、 $T, \dot{\epsilon}, \epsilon$ は図解によつて容易に求められることがわかる。

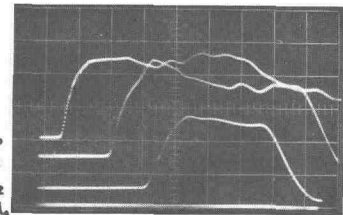
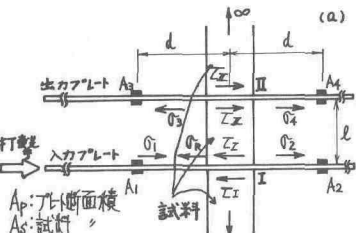


写真-1. 試料がない場合(解析の基準値)

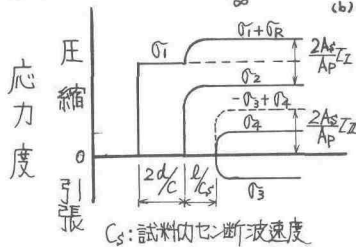


写真-2. A3, A4を別々にとった場合(基準量より下)

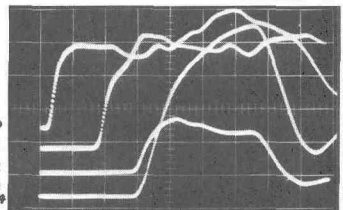


写真-3 A3+A4として測定(一般的な測定波形)

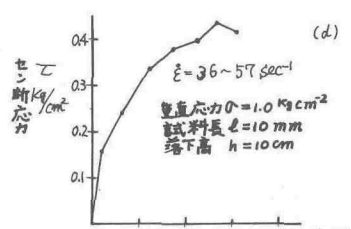
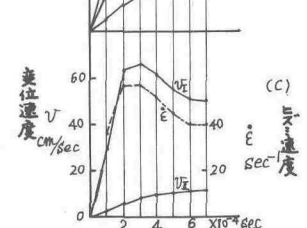
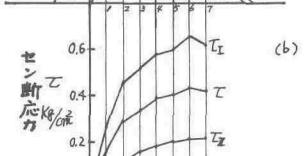
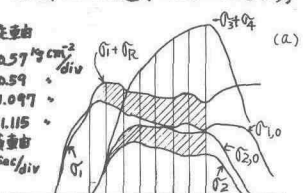


写真-3 測定波形解析の一例

3.2 測定波形の解析法 測定波形の解析の一例を図-3に示す。写真-1は、試料をサンドウイッチしない場合の波形で、当然ながら出力プレートには応力は生じない。3.1で述べた解析法は矩形波のみが発生するときのみ適用できるもので、この写真でわかるように、この条件は満足していない。したがってこの波形を基準値として解析を進めるわけである。写真-2は A_3, A_4 を別々にとったもので、出力プレートには絶対値の差し異符号の応力が発生していることがわかる。(A_3, A_4 の感度は A_1, A_2 の10倍である)。写真-3は $-A_3 + A_4$ として測定し一般的な測定波形である。図-3に写真-3の波形を例に解析方法を示す。以下写真-1の試料がない場合のデータに添字0をつけて表す。写真-3に写真-1の基準値を重ねてトレースしたもの(図-3(a))をみると、このとき基準線は一致せず、基準値をもと(1)式と書き直すと、 $2A_3T_2 = A_p \{ (O_1 + O_R - O_{1,0}) + (O_{2,0} - O_2) \} \dots (1)'$ となる。すなわち、図-3(a)でハッキリした部分の和が消えれる。したがって(1)式はつまりのようになる。

$$T = \{ (O_1 + O_R - O_{1,0}) + (O_{2,0} - O_2) - O_3 + O_4 \} A_p / 4 A_s \dots (1)'$$

時間間隔 $\Delta t = 0.1 \text{ m sec}$ で解析した結果を図-3(b)に T_1, T_2, T 、図-3(c)に V_1, V_2, V および $\dot{\epsilon}$ の時間変化を示した。図-3(d)に $T-E$ 曲線を示した。このときビズミ速度は $36 \sim 57 \text{ sec}^{-1}$ であった。

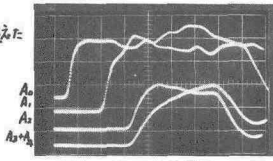
4. 解析結果 (写真-4, 5, 6の縦軸、横軸は写真-3と同じ、 A_1, A_2, A_3, A_4 は 0.2 V/div , A_s は 0.02 V/div)

写真-4. 垂直荷重のえた場合

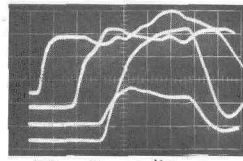
試料長 $l = 10 \text{ mm}$

落下高 $h = 10 \text{ cm}$

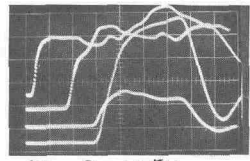
1回目の落下のデータ



(a) $O = 0.5 \text{ kg/cm}^2$



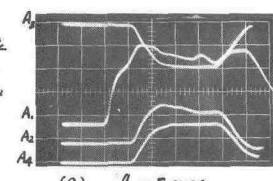
(b) $O = 1.0 \text{ kg/cm}^2$



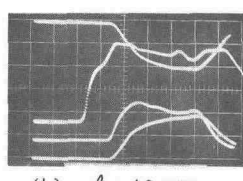
(c) $O = 1.5 \text{ kg/cm}^2$

写真-5. 試料長をえた場合

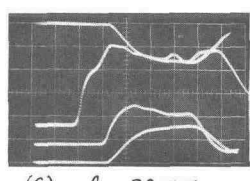
垂直応力 $O = 1.0 \text{ kg/cm}^2$
落下高 $h = 10 \text{ cm}$



(a) $l = 5 \text{ mm}$



(b) $l = 10 \text{ mm}$



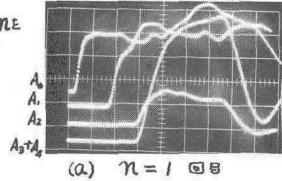
(c) $l = 20 \text{ mm}$

写真-6. 打撃回数 nE 増した場合

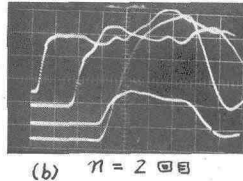
試料長 $l = 10 \text{ mm}$

垂直応力 $O = 1.0 \text{ kg/cm}^2$

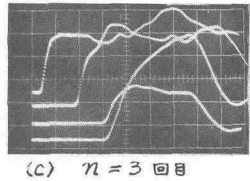
落下高 $h = 10 \text{ cm}$



(a) $n = 1 \text{ 回目}$



(b) $n = 2 \text{ 回目}$



(c) $n = 3 \text{ 回目}$

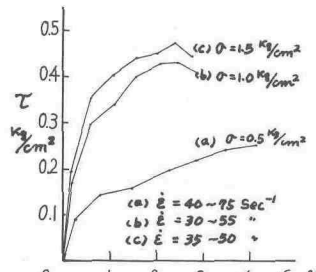


図-4. 写真-4の解析結果

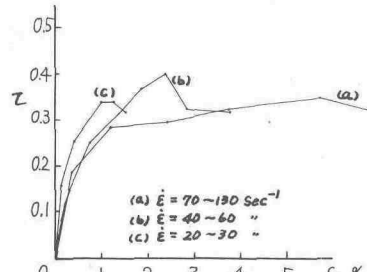


図-5. 写真-5の解析結果

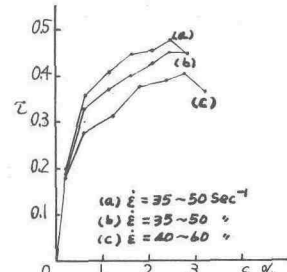


図-6. 写真-6の解析結果

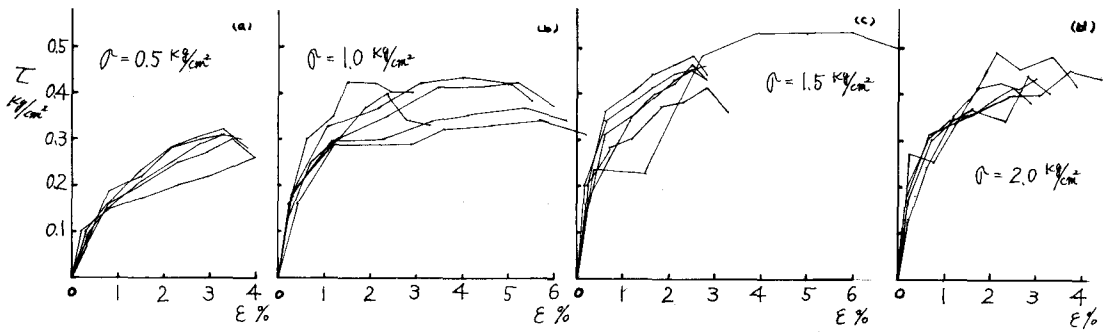


図-7 図-3と同一方法によて得られた応力(σ)-ヒズミ曲線

写真-4は、試料長 $l=10\text{mm}$ 、ハンマー落高 $h=10\text{cm}$ を一定にし、垂直応力のを変えたものである。このデータの応力(σ)-ヒズミ曲線を図-4に示す。垂直応力の増加にともなって試料の剛性が大きくなることがわかる。この σ - ϵ 曲線のピークを破壊強度と判断したいが(これはプレートと先端からの除荷波が反射してくるので、最後の7度目のプロットの実験がこの影響をうける可能性があり信頼性が低い)。これはプレートを長くする事によることで解決できる。写真-5は $\sigma=1.0\text{kg/cm}^2$ 、 $h=10\text{cm}$ を一定にして、試料長 l を変化させたもので、この σ - ϵ 曲線を図-5に示す。 l の変化によると、 σ - ϵ 曲線の速度も変化せることができる。すなはち l と l の組合せによると、位置の ϵ の実験を選択することができる。写真-6は、同一試料を、連続して打撃したもので、3回までの波形である。この σ - ϵ 曲線を図-6に示す。この図から、1回目より2回目、3回目の打撃によると順次試料の剛性が低下することがわかる。これは打撃による試料内部のひずみによるものと考えられる。図-7は、今回実験によて得られた σ - ϵ 曲線の一部を別に表わしたもので、 σ の増加によると、この場合も試料の剛性が増加する事がみられる。

なお、この測定法によれば、かなり有意な波形が観測できること、この測定方法は、土の動的応答特性や破壊機構を研究するための有効な手段になるとと思われる。

5. むすび ①今回の実験で、かなりの精度でセイ断時の応力-ヒズミ曲線が求められた。土に実験装置を改良することでより、2、弾性限度から破壊限度付近までの応力-ヒズミ特性を決定できる。
- ②試料長 l 、ハンマーの落高 h を適正に選べることによって、かなり広範囲の動的セイ断試験が可能となる。
- ③土の動的応答特性や土の破壊機構の問題を取りあつたうえで、より有意な測定法である。
- ④試料とプレートとの接触面、垂直応力の載荷方法、プレートの材料特性など問題点はあるが、これら精度の向上にはかりたい。発表時までには土にデータの収集を行なう予定である。

実験、解析にあり、大学院生佐藤正人君の協力を得た。ここに記し、謝意を表します。

- 参考文献
- 1). 森田、宇都、冬木、赤石；土の動的挙動に関する実験的研究、第3回日本地盤工学シンポジウム、(1970)。
 - 2). 森田、宇都、赤石；低速度ホフキンソン棒法の問題実験、第26回国次学術講演会、土木学会、(1971)。
 - 3). B.B. Shiming, H.T. Hoas and H.C. Saxe ; Study of Dynamic and Static Failure Envelopes , Proc. of ASCE SM2,(1966). または、土質力学 最上式雄編、土の動的性質(市原)。
 - 4) 森田、宇都、冬木、岡田；ホフキンソン棒法タイヤの動的セイ断試験、第7回土質工学研究発表講演集、土質工学会(1972)。